

Fig 30

FIGURA 30

Ontogenia de Proteínas Ligantes de Calcio durante el desarrollo hipofisario en Mamíferos.

a.- Sección sagital de la bolsa de Rathke en el estadio E.12 que muestra la presencia de las primeras células CBD28K-ir (◆) en la expansión de la cara dorsorostral, origen del futuro lóbulo tuberal, así como en el neuroepitelio, origen del futuro lóbulo posterior (HRP-DAB-Niquel 160x).

b.- Detalle de la imagen anterior que muestra las células CBD28K-ir (◆) en la expansión de la cara dorsorostral de la bolsa (HRP-DAB-Niquel 340x).

c.- Sección transversal de la bolsa de Rathke en el estadio E.12 que muestra la presencia de una intensa inmunorreacción CBD28K en las células de las expansiones laterales de la cara dorsorostral así como en el neuroepitelio diencefálico (HRP-DAB-Niquel 220x).

d.- Sección sagital de la hipófisis en el estadio E.14 que muestra la presencia de CBD28K-ir en el lóbulo tuberal así como en la eminencia media. Obsérvese la presencia de las primeras células CBD28K-ir en la mitad rostral del lóbulo anterior (➤) (HRP-DAB-Niquel 160x).

e.- Sección sagital de la hipófisis en el estadio E.15 que muestra un aumento de la CBD28K-ir tanto en el lóbulo tuberal como en la eminencia media. Asimismo se observa un aumento en el número de células CBD28K-ir que aparecen también en la mitad caudal del lóbulo anterior (HRP-DAB-Niquel 160x).

f.- Detalle en sección sagital del lóbulo anterior en un embrión de estadio E.15 en el que se muestra un doble marcaje CBD28K/ACTH (HRP-DAB/HRP-CI-Naftol 340x). Obsérvese la presencia de células ACTH-ir (➤) y células CBD28K-ir (➔), sin embargo no se observan células doblemente marcadas.

EM: Eminencia media.
CE: Cartilago esfenoides
CDr: Cara dorsorostral.
CDc: Cara dorsocaudal.
CV: Cara ventral.
HH:Hendidura hipofisaria.
In: Infundíbulo.
NE: Neuroepitelio.
LA: Lóbulo anterior.
LI: Lóbulo intermedio.
LT: Lóbulo tuberal.
LP: Lóbulo posterior.
3V: Tercer ventrículo.

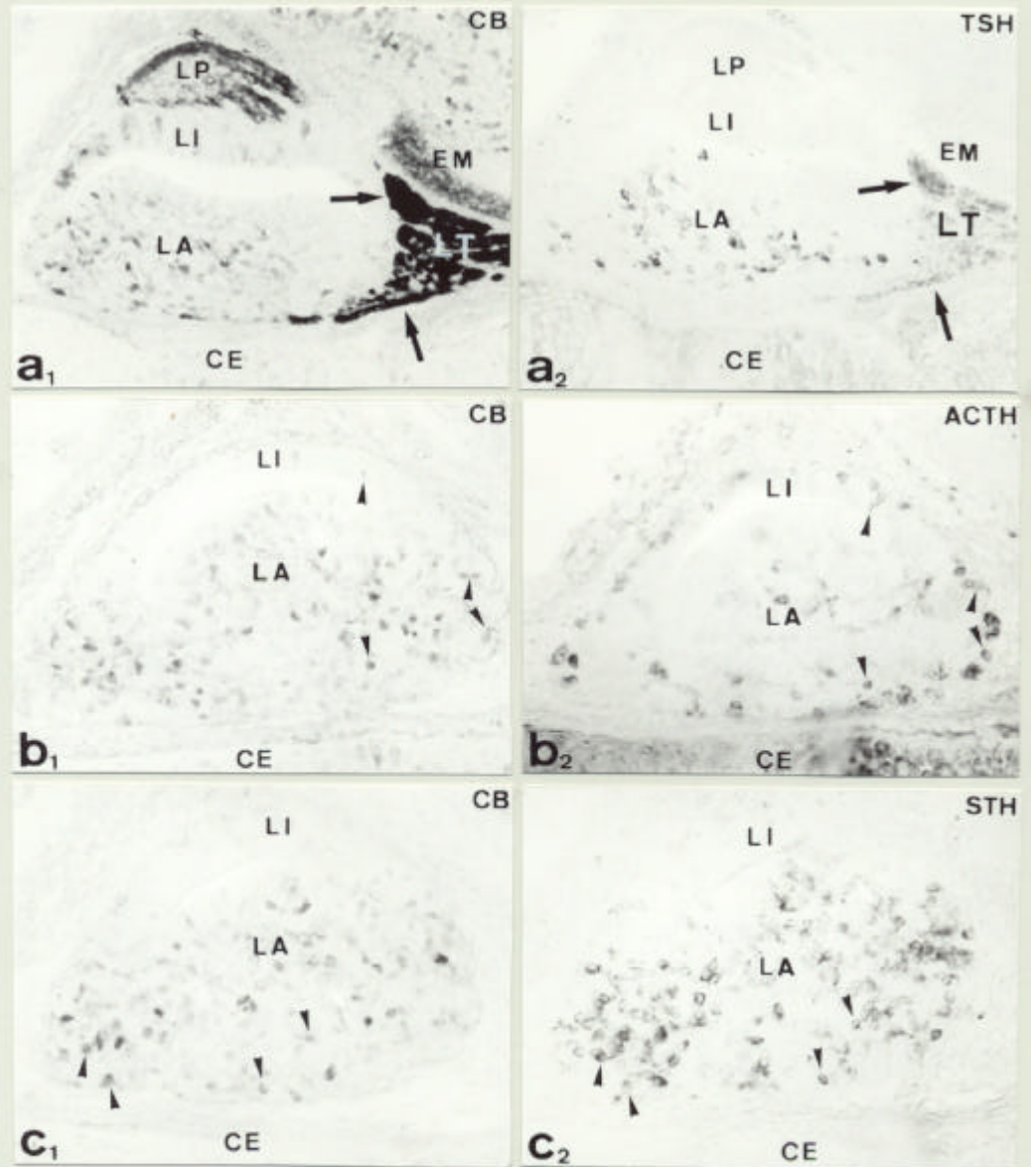


Fig 31

FIGURA 31

Ontogenia de Proteínas Ligantes de Calcio durante el desarrollo hipofisario en Mamíferos. Coexistencia Calbindina-Hormonas.

a₁,a₂.- Sección sagital de la hipófisis en el estadio E.17 tratada consecutivamente con antisuero anti-CBD28K y anti- β TSH respectivamente. Obsérvese la presencia de ambas moléculas en las mismas células del lóbulo tuberal (➔). (HRP/CI-Naftol 160x).

b₁,b₂.- Sección sagital de la hipófisis en el estadio E.16 tratada consecutivamente con antisuero anti- CBD28K y anti-ACTH respectivamente. Obsérvese la presencia de ambas moléculas en algunas células del lóbulo anterior (➤). (HRP/CI-Naftol 160x).

c₁,c₂.- Sección sagital de la hipófisis en el estadio E.16 tratada consecutivamente con antisuero anti- CBD28K y anti-STH respectivamente. Obsérvese la presencia de ambas moléculas en algunas células del lóbulo anterior (➤). (HRP/CI-Naftol 160x).

CE: Cartilago esfenoides.

EM: Eminencia media.

LA: Lóbulo anterior.

LI :Lóbulo intermedio.

LT: Lóbulo tuberal.

LP: Lóbulo posterior.

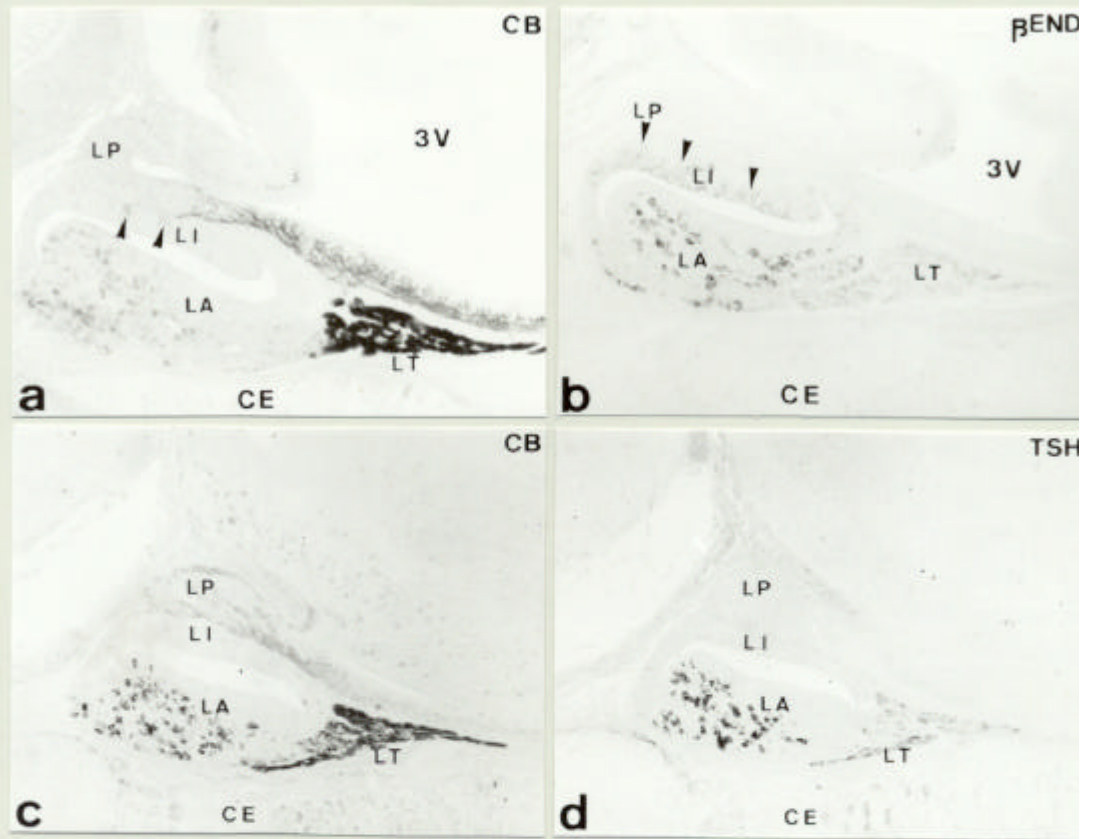


Fig 32

FIGURA 32

Ontogenia de Proteínas Ligantes de Calcio durante el desarrollo hipofisario en Mamíferos.
Coexistencia Calbindina-Hormonas.

a,b.- Secciones adyacentes de la hipófisis en el estadio E.16 que muestran la presencia de las primeras células CBD28K-ir (➤) en el lóbulo intermedio conjuntamente con la aparición de las primeras células corticotropas (➤) en este lóbulo hipofisario (HRP-CI-Naftol 140x).

c,d.- Secciones adyacentes de la hipófisis en el estadio E.17 que muestran la misma distribución para la CBD28K y la TSH en el lóbulo tuberal (HRP-CI-Naftol 120x).

CE: Cartílago esfenoides.

EM: Eminencia media.

LA: Lóbulo anterior.

LI: Lóbulo intermedio.

LT: Lóbulo tuberal.

LP: Lóbulo posterior.

3V: Tercer ventrículo.

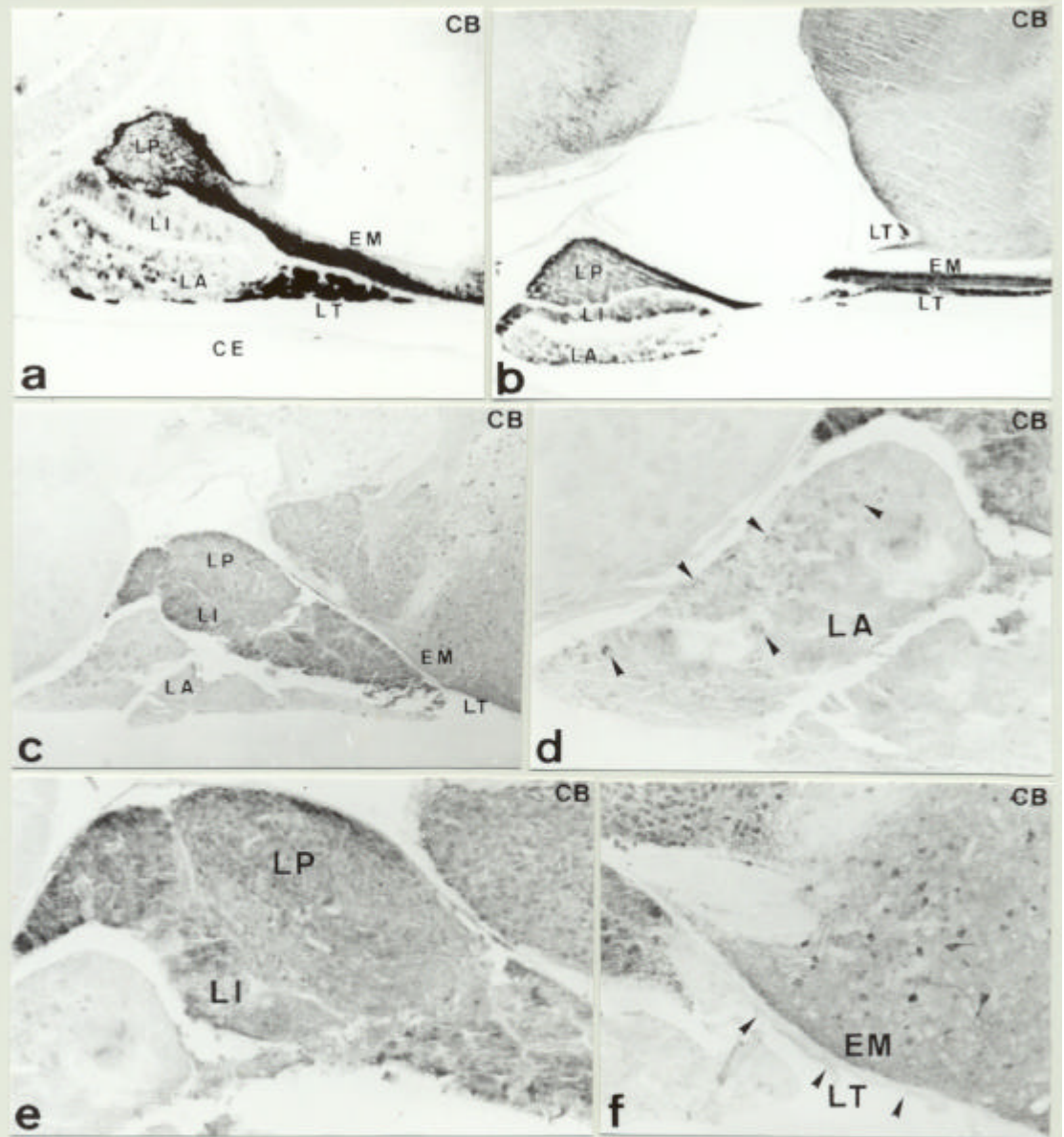


Fig 33

FIGURA 33

Ontogenia de Proteínas Ligantes de Calcio durante el desarrollo hipofisario en Mamíferos.

a.- Sección sagital de la hipófisis en el estadio E.18 que muestra la distribución de CBD28K al final del desarrollo embrionario (HRP-DAB Niquel 140x).

b.- Sección sagital de la hipófisis de un posnatal en el estadio P.7 que muestra la distribución de CBD28K al comienzo de la vida posnatal (HRP-DAB Niquel 100x).

c.- Sección sagital de la hipófisis de un ratón adulto que muestra la distribución de CBD28K. Obsérvese la presencia de inmunorreacción en la eminencia media así como en los lóbulos posterior e intermedio, mientras que no se observa en los lóbulos tuberal y anterior, con excepción de un pequeño grupo de células en la región caudal de este último (HRP-DAB Niquel 140x).

d.- Detalle en sección sagital de la hipófisis adulta que muestra la presencia de un pequeño grupo de células CBD28K-ir en la región caudal del lóbulo anterior (➤) (HRP-DAB Niquel 380x).

e.- Detalle en sección sagital de la hipófisis adulta que muestra una intensa inmunorreacción para CBD28K en todo el lóbulo posterior e intermedio (HRP-DAB Niquel 380x).

f.- Detalle en sección sagital de la hipófisis adulta que muestra una ausencia total de inmunorreacción para CBD28K en el lóbulo tuberal (➤), mientras que se observa CBD28K-ir en la eminencia media así como en la región hipotalámica anterior (HRP-DAB Niquel 380x).

CE: Cartilago esfenoides.

EM: Eminencia media.

LA: Lóbulo anterior.

LI: Lóbulo intermedio.

LT: Lóbulo tuberal.

LP: Lóbulo posterior.